

FARMACOPÉIA BRASILEIRA

6ª EDIÇÃO



Agência Nacional de Vigilância Sanitária

Farmacopeia Brasileira, 6ª edição

Volume II – Monografias

Plantas Medicinais

Brasília
2019

PLANTAS MEDICINAIS

ABACATEIRO, folha	PM001-00
ACÔNITO, raiz	PM002-00
ALCACHOFRA, folha	PM003-00
ALCAÇUZ, raiz	PM004-00
ALHO, bulbo	PM005-00
ALOE, exsudato seco	PM006-01
ALTEIA, raiz	PM007-00
AMEIXA, fruto	PM008-00
ANGICO, casca	PM009-00
ANIS-DOCE, fruto	PM010-00
ANIS-ESTRELADO, fruto	PM011-00
ARNICA, flor	PM012-00
AROEIRA, casca	PM013-00
BABOSA, folha	PM014-00
BÁLSAMO-DE-TOLU	PM015-00
BÁLSAMO-DO-PERU	PM016-00
BARBATIMÃO, casca	PM017-00
BAUNILHA, fruto	PM018-00
BELADONA, folha	PM019-00
BENJOIM	PM020-00
BOLDO, folha	PM021-00
CALÊNDULA, flor	PM022-01
CAMOMILA, flor	PM023-00
CANELA-DA-CHINA, casca	PM024-00
CANELA-DO-CEILÃO, casca	PM025-00
CAPIM-LIMÃO, folha	PM026-00
CARDAMOMO, semente	PM027-00
CARQUEJA, caule alado	PM028-00
CÁSCARA-SAGRADA, casca	PM029-00
CASTANHA-DA-ÍNDIA, semente	PM030-00
CENTELA, folha	PM031-00
CHAMBÁ, folha	PM032-00
CHAPÉU-DE-COURO, folha	PM033-00
COENTRO, fruto	PM034-00
CRATEGO, folha e flor	PM035-01
CRAVO-DA-ÍNDIA, botão floral	PM036-00
CÚRCUMA, rizoma	PM037-01
ENDRO, fruto	PM038-00
ESPINHEIRA-SANTA, folha	PM039-00
ESTÉVIA, folha	PM040-00
ESTRAMÔNIO, folha	PM041-00

EUCALIPTO, folha	PM042-00
FUNCHO-AMARGO, fruto	PM043-00
FUNCHO-DOCE, fruto	PM044-00
GARRA-DO-DIABO, raiz	PM045-00
GENCIANA, rizoma e raiz	PM046-00
GENGIBRE, rizoma	PM047-00
GOIABEIRA, folha	PM048-00
GUACO-CHEIROSO, folha	PM049-00
GUARANÁ, semente	PM050-00
HAMAMELIS, folha	PM051-00
HIDRASTE, rizoma e raiz	PM052-00
HORTELÃ-DO-BRASIL, parte aérea	PM053-00
HORTELÃ-PIMENTA, folha	PM054-00
JALAPA, raiz	PM055-00
JUCÁ, casca	PM056-00
JUCÁ, fruto	PM057-00
LARANJA-AMARGA, exocarpo	PM058-00
MACELA, flor	PM059-00
MALVA, flor	PM060-00
MARACUJÁ-AZEDO, folha	PM061-01
MARACUJÁ-DOCE, folha	PM062-01
MEIMENDRO, folha	PM063-00
MELISSA, folha	PM064-01
NOZ-DE-COLA, semente	PM065-00
NOZ-VÔMICA, semente	PM066-00
PITANGUEIRA, folha	PM067-01
PLANTAGO, testa	PM068-00
POLÍGALA, raiz	PM069-00
QUEBRA-PEDRA, parte aérea	PM070-00
QUEBRA-PEDRA, parte aérea	PM071-00
QUILAIA, casca	PM072-00
QUINA-AMARELA, casca	PM073-00
RATÂNIA, raiz	PM074-00
RAUVOLFIA, raiz	PM075-00
RUIBARBO, rizoma e raiz	PM076-01
SABUGUEIRO-DO-BRASIL, flor	PM077-01
SABUGUEIRO, flor	PM078-01
SALGUEIRO-BRANCO, casca	PM079-00
SENE, folha	PM080-01
SENE, fruto	PM081-00
UVA-URSI, folha	PM082-00
VALERIANA, rizoma e raiz	PM083-00

PREPARAÇÕES VEGETAIS – TINTURAS

ACÔNITO, tintura	PM084-00
ANGICO, tintura	PM085-00
ANIS-ESTRELADO, tintura	PM086-00
AROEIRA, tintura	PM087-00
BÁLSAMO-DE-TOLU, tintura	PM088-00
BAUNILHA, tintura	PM089-00
BENJOIM, tintura	PM090-00
BOLDO, tintura	PM091-00
CALÊNDULA, tintura	PM092-00
CAMOMILA, tintura	PM093-00
CANELA-DO-CEILÃO, tintura	PM094-00
CÁSCARA-SAGRADA, tintura	PM095-00
CASTANHA-DA-ÍNDIA, tintura	PM096-00
CÚRCUMA, tintura	PM097-00
GENCIANA, tintura	PM098-00
GUARANÁ, tintura	PM099-00
HAMAMELIS, tintura	PM100-00
JABORANDI, tintura	PM101-00
LARANJA-AMARGA, tintura	PM102-00
NOZ-VÔMICA, tintura	PM103-00
RATÂNIA, tintura	PM104-00
VALERIANA, tintura	PM105-00

PREPARAÇÕES VEGETAIS – EXTRATO FLUIDO

ALCACHOFRA, extrato fluido	PM106-00
ALCAÇUZ, extrato fluido	PM107-00
AMEIXA, extrato fluido	PM108-00
ANGICO, extrato fluido	PM109-00
AROEIRA, extrato fluido	PM110-00
BOLDO, extrato fluido	PM111-00
CALÊNDULA, extrato fluido	PM112-00
CANELA-DO-CEILÃO, extrato fluido	PM113-00
CÁSCARA-SAGRADA, extrato fluido	PM114-00
CASTANHA-DA-ÍNDIA, extrato fluido	PM115-00
CRATEGO, extrato fluido	PM116-00
GENCIANA, extrato fluido	PM117-00
GUARANÁ, extrato fluido	PM118-00
HAMAMELIS, extrato fluido	PM119-00
LARANJA-AMARGA, extrato fluido	PM120-00
NOZ-DE-COLA, extrato fluido	PM121-00
NOZ-VÔMICA, extrato fluido	PM122-00
RATÂNIA, extrato fluido	PM123-00
VALERIANA, extrato fluido	PM124-00

ÓLEOS, GORDURAS E CERAS

ALECRIM, óleo	PM125-00
ALGODÃO, óleo refinado	PM126-00
ANIS-DOCE, óleo	PM127-00
CAMOMILA, óleo	PM128-00
CANELA-DA-CHINA, óleo	PM129-00
CANELA-DO-CEILÃO, óleo	PM130-00
CAPIM-LIMÃO, óleo	PM131-00
CERA DE CARNAÚBA	PM132-00
COENTRO, óleo	PM133-00
CRAVO-DA-ÍNDIA, óleo	PM134-00
EUCALIPTO, óleo	PM135-00
EUCALIPTO-LIMÃO, óleo	PM136-00
FUNCHO, óleo	PM137-00
GIRASSOL, óleo refinado	PM138-00
HORTELÃ-DO-BRASIL, óleo	PM139-00
HORTELÃ-PIMENTA, óleo	PM140-00
LARANJA-AMARGA, óleo	PM141-00
LARANJA-DOCE, óleo	PM142-00
LIMÃO, óleo	PM143-00
MANTEIGA DE CACAU	PM144-00
MELALEUCA, óleo	PM145-00
NOZ-MOSCADA, óleo	PM146-00
OLIVA, óleo virgem	PM147-00
PALMA-ROSA, óleo	PM148-00
TOMILHO, óleo	PM149-00

MELISSA, folha

Melissae folium

A droga vegetal consiste de folhas secas de *Melissa officinalis* L., contendo, no mínimo, 4,0% de derivados hidroxicinâmicos totais e, no mínimo, 2,0% de ácido rosmarínico (C₁₈H₁₆O₈, 360,31) e, no mínimo, 0,6% de óleo volátil.

CARACTERÍSTICAS

As folhas amassadas têm odor forte, aromático, semelhante ao citral.

IDENTIFICAÇÃO

A. Descrição macroscópica

Folhas inteiras, membranáceas, rugosas, quebradiças, pecioladas, verde-escuras e brilhantes na face adaxial e verde-claras na face abaxial, às vezes vináceas, principalmente na região próxima ao pecíolo e sobre as nervuras da face abaxial, com tricomas tectores e raros glandulares na face adaxial e com numerosos tricomas tectores e glandulares na face abaxial, estes últimos parecendo pequenos pontos, visíveis com lente de aumento de seis vezes; venação camptódroma-reticulódroma. Lâmina ovalada a ovalado-cordiforme, com base ovalada, arredondada ou cordiforme, ápice obtuso e margem irregularmente crenado-serrada, finamente ciliada, medindo de 4 a 8 cm de comprimento e 3 a 5 cm de largura. Pecíolo de 0,3 a 5,0 cm de comprimento, verde ou vináceo, côncavo na face adaxial, convexo na face abaxial e com duas costelas laterais; face adaxial coberta por longos tricomas tectores, os das costelas visíveis a olho nu.

B. Descrição microscópica

Lâmina foliar de simetria dorsiventral, anfi-hipoestomática, com estômatos diacíticos. Em vista frontal, as células da epiderme apresentam paredes anticliniais sinuosas. A lâmina foliar apresenta os seguintes tricomas: (1) tectores unicelulares, raramente bicelulares, cônicos a triangulares, dentiformes, curtos, de cutícula espessa e verrucosa; (2) tectores pluricelulares unisseriados, de três a cinco células, sendo a apical de ápice agudo, de aspecto uncinado, de cutícula espessa e verrucosa; (3) tectores pluricelulares unisseriados, de três a nove células, muito longos, de cutícula espessa e verrucosa; (4) tectores, pluricelulares unisseriados, de três a nove células, muito longos e de base alargada, formada por uma coroa de células; (5) glandulares de cabeça unicelular ou bicelular, arredondada e pedicelo unicelular a tricelular; (6) glandulares peltados, com pedicelo unicelular, localizado em depressão na epiderme e com cabeça secretora octocelular. Em secção transversal, a cutícula é levemente estriada e a epiderme é uniestratificada. O parênquima paliádico é uniestratificado e o esponjoso é bi- a triestratificado; grãos de amido estão presentes em todos os tecidos. A nervura principal, em secção transversal, apresenta cutícula lisa na face adaxial e estriada na abaxial, a epiderme é uniestratificada, o colênquima é angular, uniestratificado junto à face abaxial e com três a quatro camadas junto à face adaxial. Ocorre um feixe colateral único, raro dois ou três, envolvido por uma endoderme contínua ou não. O pecíolo, em secção transversal, apresenta cutícula levemente estriada e epiderme uniestratificada. Os tricomas são os mesmos citados para a lâmina. O colênquima é angular e está distribuído em toda a extensão do pecíolo, uni- ou biestratificado na face adaxial e triestratificado na face abaxial; na região das costelas ocorrem até sete camadas. O sistema vascular é formado por três a cinco feixes colaterais, cada um deles envolvido por endoderme; o floema pode apresentar células pétreas junto às fibras.

C. Descrição microscópica do pó

A amostra satisfaz a todas as exigências estabelecidas para a espécie, menos os caracteres macroscópicos. São características: coloração esverdeada; fragmentos de epiderme foliar com células de paredes anticlinais sinuosas e estômatos diacíticos e com cicatrizes dos tricomas tectores do tipo dentiforme; grande quantidade de tricomas conforme os descritos; fragmentos de mesofilo como descrito; cristais de oxalato de cálcio ausentes.

D. Descrição macroscópica das impurezas

Os caules, ramos, flores e frutos da própria espécie, se presentes como impureza, caracterizam-se: caule quadrangular, piloso quando jovem; flores pequenas, estipitadas e protegidas por brácteas foliáceas, semelhantes às demais folhas; cálice pubescente, tubuloso-campanulado, bilabiado, lábio superior tridentado e inferior bifido; corola branca a amarelada ou rosada, com tubo recurvado e limbo com dois lobos desiguais, o superior ereto, bifido e o inferior estendido, trilobado, com lobos obtusos, sendo o mediano o mais longo; estames quatro, didínamos, coniventes sob o lábio superior da corola, anteras com tecas divergentes; ovário súpero, tetralobado, com lóculos monospermicos; estilete ginobásico, bifido; fruto tetraquênio, de coloração marrom.

E. Descrição microscópica da impureza correspondente ao caule

Os caules da própria espécie, se presentes como impureza, apresentam, em estrutura primária, cutícula espessa e estriada, epiderme uniestratificada com células poliédricas, estômatos distribuídos próximos às costelas e localizados muito acima das demais células epidérmicas, muitos tricomas, mais comumente o tipo 6, além dos tipos 2 e 5 e os do tipo 4 distribuem-se nas costelas. O córtex apresenta colênquima angular distribuído por toda a extensão e mais desenvolvido nas costelas, clorênquima e parênquima cortical formado por células isodiamétricas com grandes espaços intercelulares. A endoderme possui grande quantidade de grãos de amido e envolve os quatro feixes colaterais. O parênquima medular é formado por células isodiamétricas de grande volume e de paredes delgadas. Em estrutura secundária, a epiderme e o córtex mantêm suas características, exceto a clara redução de tricomas e a comum ocorrência de células pétreas no parênquima cortical. O floema possui grande quantidade de fibras, o câmbio vascular é evidente e o xilema apresenta grande quantidade de grãos de amido. Esses grãos ocorrem em todos os tecidos, exceto na epiderme e em maior quantidade quando em estrutura secundária.

F. Proceder conforme descrito em *Cromatografia em camada delgada* (5.2.17.1).

Fase estacionária: sílica-gel GF₂₅₄ (0,250 mm).

Fase móvel: hexano e acetato de etila (90:10).

Solução amostra: transferir cerca de 2 g da droga pulverizada para balão de fundo redondo de 250 mL, adicionar 100 mL de água. Adicionar 0,5 mL de xileno no tubo graduado e destilar durante uma hora conforme descrito em *Determinação de óleos voláteis em drogas vegetais* (5.4.1.6). Após a destilação, transferir a fase orgânica para um balão aferido de 1 mL, lavar o tubo graduado do aparelho com um pouco de xileno, completar o volume com o mesmo solvente e homogeneizar.

Solução referência: diluir 1 µL de citronelal e 10 µL de citral em xileno, num balão volumétrico de 25 mL, completar o volume e homogeneizar.

Procedimento: aplicar na cromatoplaca, separadamente, em forma de banda, 20 µL da *Solução amostra* e 10 µL da *Solução referência*. Desenvolver o cromatograma. Remover a cromatoplaca e deixar secar ao ar. Em seguida, nebulizar a placa com solução de anisaldeído e aquecer em estufa entre 100 °C e 105 °C, durante 10 a 15 minutos.

Resultados: no esquema a seguir há as sequências de zonas obtidas com a *Solução referência* e a *Solução amostra*. Outras zonas podem, ocasionalmente, aparecerem.

Parte superior da placa	
Citronelal: zona de coloração violeta-acinzentada	Zona de zona de coloração violeta-acinzentada
	Zona de zona de coloração violeta-avermelhado
Citral: zona de coloração violeta-azulada	Zona de zona de coloração violeta-azulada
Solução referência	Solução amostra

TESTES

Matéria estranha (5.4.1.3). No máximo 10,0% de caules e flores.

Água (5.4.1.4). No máximo 10,0%. Determinar em 1 g da amostra pulverizada (355 µm), em estufa entre 100 °C e 105 °C, durante duas horas.

Cinzas totais (5.4.1.5.1). No máximo 12,0%.

Contagem do número total de micro-organismos mesófilos (5.5.3.1.2). Cumpre o teste.

Pesquisa de micro-organismos patogênicos (5.5.3.1.3). Cumpre o teste.

Metais pesados (5.4.5). Cumpre o teste.

Resíduos de agrotóxicos (5.4.3). Cumpre o teste.

Perfil cromatográfico. Proceder conforme descrito em *Cromatografia a gás (5.2.17.5)*. Utilizar cromatógrafo provido de detector por ionização de chama, utilizando mistura de nitrogênio, ar sintético e hidrogênio (1:1:10) como gases auxiliares à chama do detector; coluna capilar de 30 m de comprimento e 0,25 mm de diâmetro interno, revestida com polidifenildimetilsiloxano, com

espessura do filme de 0,25 μm . Utilizar hélio a uma pressão de 80 kpa como gás de arraste; fluxo do gás de arraste de 1 mL/minuto.

Temperatura:

	Tempo (minutos)	Temperatura ($^{\circ}\text{C}$)
Coluna	0 – 80	60 \rightarrow 300
Injetor		220
Detector		250

Solução amostra: diluir o óleo volátil na razão de 2:100 em éter etílico.

Procedimento: injetar volume de 1 μL da *Solução amostra* no cromatógrafo a gás, utilizando divisão de fluxo de 1:50. Os índices de retenção linear dos constituintes do óleo são calculados em relação a uma série homóloga de hidrocarbonetos e comparados com amostras referência. Determinar as concentrações relativas por integração manual ou eletrônica pelo método de normalização. Calcular o Índice de Retenção Relativo, segundo a expressão:

$$\text{IRR} = 100 \times n + \frac{100 \times (\text{tr}_x - \text{tr}_z)}{(\text{tr}_{z+1} - \text{tr}_z)}$$

em que,

IRR = Índice de Retenção Relativo;

n = número de átomos de carbono do alcano de menor peso molecular;

tr_x = tempo de retenção do constituinte “x” (intermediário a tr_z e tr_{z+1});

tr_z = tempo de retenção do alcano com “n” carbonos;

tr_{z+1} = tempo de retenção do alcano com “n + 1” carbonos.

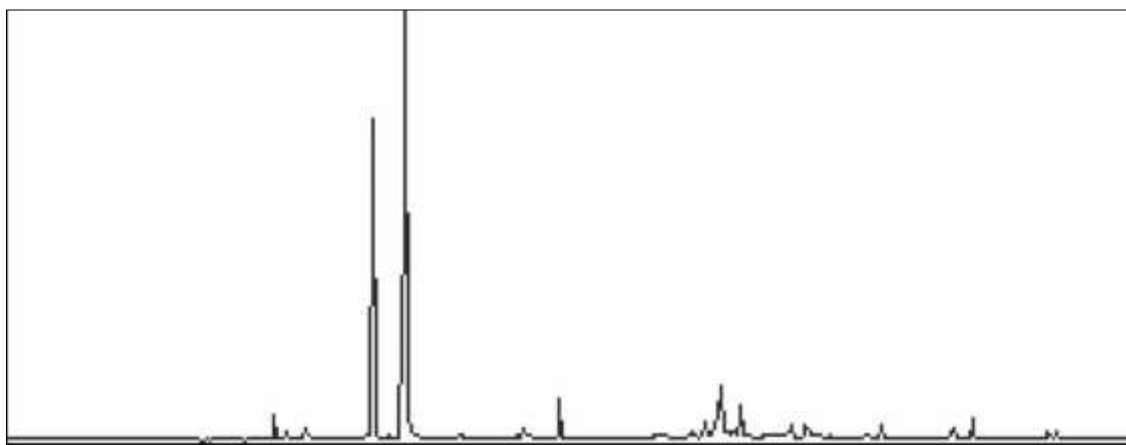


Figura 1 – Cromatograma ilustrativo obtido com o óleo volátil de *Melissa officinalis* L., por cromatografia à gás acoplada a detector por ionização de chama.

No cromatograma obtido com a *solução amostra* verificar a presença dos componentes conforme segue:

Pico	Índice de Retenção	Constituinte	Teor (%)
1	1234	neral (citral B)	30,4 – 32,9
2	1265	geranial (citral A)	49,0 – 53,3

3	1404	beta-cariofileno	2,6 – 3,1
4	1579	óxido de cariofileno	3,9- 6,4

DOSEAMENTO

Derivados hidroxicinâmicos totais

Proceder conforme descrito em *Espectrofotometria de absorção no visível (5.2.14)*. Preparar as soluções descritas a seguir.

Solução estoque: pesar, com exatidão, cerca de 0,2 g da droga pulverizada e transferir para balão de fundo redondo. Acrescentar 190 mL de álcool etílico a 50% (v/v) e aquecer em banho-maria, sob refluxo, durante 30 minutos. Esfriar e filtrar. Lavar o filtro com 10 mL de álcool etílico a 50% (v/v). Transferir o filtrado e a solução de lavagem para balão volumétrico de 200 mL, completar o volume com álcool etílico a 50% (v/v) e homogeneizar.

Solução amostra: em um balão volumétrico de 10 mL, transferir 1 mL da *Solução estoque*, 2 mL de ácido clorídrico 0,5 M, 2 mL de uma solução preparada dissolvendo 10 g de nitrito de sódio e 10 g de molibdato de sódio em 100 mL de água e, a seguir, 2 mL de hidróxido de sódio 2 M, completar o volume para 10 mL com água e homogeneizar.

Solução branco: em um balão volumétrico de 10 mL, transferir 1 mL da *Solução estoque*, 2 mL de ácido clorídrico 0,5 M, 2 mL de hidróxido de sódio 2 M, completar o volume para 10 mL com água e homogeneizar.

Procedimento: medir a absorvância da *Solução amostra* em 505 nm, após o seu preparo, utilizando a *Solução branco* para o ajuste do zero. Calcular o teor de derivados hidroxicinâmicos totais, expressos em ácido rosmarínico, em porcentagem, segundo a expressão:

$$\text{TDHC} = \frac{A \times 2000}{m \times 400}$$

em que,

TDHC = teor de derivados hidroxicinâmicos totais, expressos em ácido rosmarínico % (p/p);

A = absorvância medida para a *Solução amostra*;

2000 = fator de diluição;

400 = coeficiente de absorção específica do ácido rosmarínico;

m = massa em gramas da amostra utilizada, considerando a perda por dessecação.

Ácido rosmarínico

Proceder conforme descrito em *Cromatografia a líquido de alta eficiência (5.2.17.4)*. Utilizar cromatógrafo provido de detector ultravioleta a 332 nm; pré-coluna empacotada com sílica octadecilsilanizada, coluna de 150 mm de comprimento e 3,9 mm de diâmetro interno, empacotada com sílica octadecilsilanizada (4 µm), mantida a temperatura ambiente; fluxo da *Fase móvel* de 0,6 mL/minuto.

Eluente (A): água e ácido trifluoracético (100:0,1).

Eluente (B): acetonitrila e ácido trifluoracético (100:0,1).

<i>Tempo (minutos)</i>	<i>Eluente (A) %</i>	<i>Eluente (B) %</i>	<i>Eluição</i>
0 – 14	90→61	10→39	gradiente linear
14 – 16	61→50	39→50	gradiente linear
16 – 18	50→90	50→10	gradiente linear
18 – 23	90	10	Isocrática

Solução amostra: pesar, com exatidão, cerca de 0,1 g da droga seca e pulverizada (800 µm) (5.2.11) e colocar em tubo de centrifuga fechado. Adicionar 5 mL de álcool etílico a 40% (v/v) e levar ao banho de ultrassom durante 10 minutos. Centrifugar por cinco minutos a $42 \times g$. Separar e transferir o sobrenadante para balão volumétrico de 10 mL. Extrair novamente o resíduo da droga com 4 mL de álcool etílico a 40% (v/v) em banho de ultrassom durante cinco minutos. Centrifugar e transferir o sobrenadante para o mesmo balão volumétrico, completar o volume para 10 mL com álcool etílico a 40% (v/v) e homogeneizar. Diluir 50 µL da solução resultante em 0,3 mL de água. Filtrar em unidade filtrante de 0,45 µm.

Solução estoque: dissolver 10 mg de ácido rosmarínico em álcool metílico, transferir, quantitativamente, para balão volumétrico de 10 mL, completar o volume com álcool metílico e homogeneizar.

Soluções para curva analítica: diluir uma alíquota de 200 µL da *Solução estoque* de modo a obter solução a 0,25 mg/mL. Realizar diluições da solução anterior, em álcool metílico, de modo a obter concentrações de 7,80 µg/mL, 15,60 µg/mL, 31,25 µg/mL, 62,50 µg/mL, 125 µg/mL e 250 µg/mL. Filtrar em unidade filtrante de 0,45 µm.

Procedimento: injetar, separadamente, 10 µL das *Soluções para curva analítica* e 10 µL da *Solução amostra*. Registrar os cromatogramas e medir as áreas sob os picos. O tempo de retenção é de aproximadamente 10,3 minutos para o ácido rosmarínico. Calcular o teor de ácido rosmarínico na amostra a partir da equação da reta obtida com a curva de calibração. O resultado é expresso pela média das determinações em gramas de ácido rosmarínico, em porcentagem, considerando a perda por dessecação.

Óleos voláteis

Proceder conforme descrito em *Determinação de óleos voláteis em drogas vegetais (5.4.1.6)*. Utilizar balão de 1000 mL contendo 500 mL de água como líquido de destilação. Adicionar 0,5 mL de xileno no tubo graduado. Utilizar planta seca rasurada e não contundida. Proceder imediatamente à determinação do óleo volátil, a partir de 20 g da droga rasurada. Destilar durante quatro horas. Medir o volume e expressar o rendimento por 100 g de droga (v/p).

EMBALAGEM E ARMAZENAMENTO

Em recipiente hermeticamente fechado ao abrigo da luz e do calor.

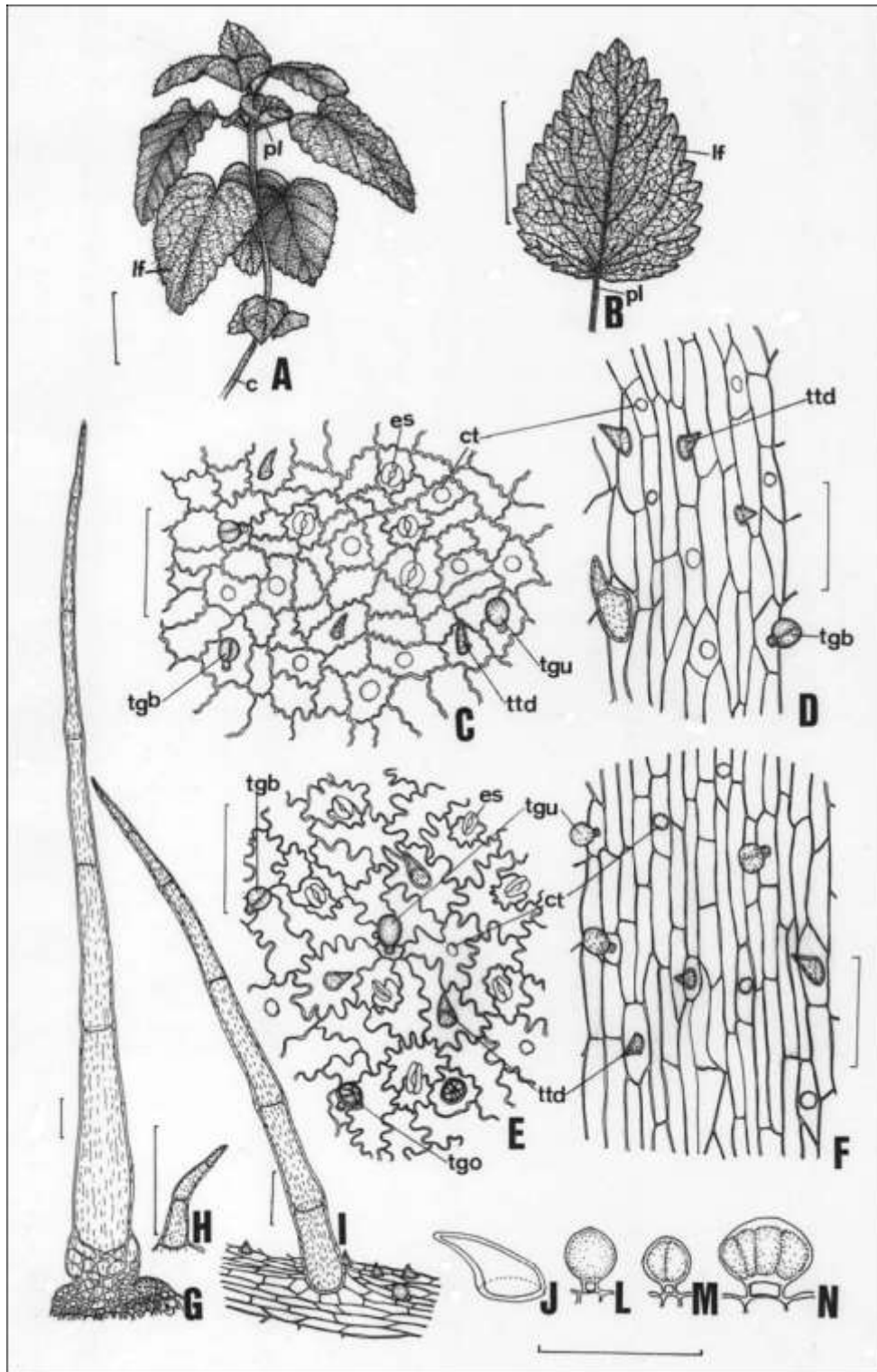


Figura 2 – Aspectos macroscópicos, microscópicos e microscópicos do pó em *Melissa officinalis* L.

As escalas correspondem em **A e B** a 3 cm; em **C, D, E, F, G, H, I, J, L, M e N** a 100 μ m. **A** – aspecto geral de um ramo: caule (c); lâmina foliar (lf); pecíolo (pl). **B** – detalhe da face adaxial de uma folha: lâmina foliar (lf); pecíolo (pl). **C** – detalhe de uma porção da face adaxial da lâmina foliar, na região do intercostal, em vista frontal: cicatriz do tricoma tector do tipo dentiforme (ct); estômato (es); tricoma glandular com cabeça bicelular, tipo 5 (tgb); tricoma glandular com cabeça unicelular, tipo 5 (tgu); tricoma tector do tipo dentiforme, tipo 1 (ttt). **D** – detalhe de uma porção da face adaxial da lâmina foliar, sobre a nervura principal, em vista frontal: cicatriz do tricoma tector do tipo dentiforme, tipo 1 (ct); tricoma glandular com cabeça bicelular, tipo 5 (tgb); tricoma tector do tipo dentiforme, tipo 1 (ttt). **E** – detalhe de uma porção da face abaxial da lâmina foliar, na região intercostal, em vista frontal: cicatriz do tricoma tector do tipo dentiforme, tipo 1 (ct); estômato (es); tricoma glandular com cabeça bicelular, tipo 5 (tgb); tricoma glandular com cabeça octacelular, tipo 6 (tgo); tricoma glandular com cabeça unicelular, tipo 5 (tgu); tricoma tector do tipo dentiforme, tipo 1 (ttt). **F** – detalhe

de uma porção da face abaxial da lâmina foliar, sobre a nervura principal, em vista frontal: cicatriz do tricoma tector do tipo dentiforme, tipo 1 (ct); tricoma glandular com cabeça unicelular, tipo 5 (tgu); tricoma tector do tipo dentiforme, tipo 1 (ttd). **G** – detalhe de um tricoma tector pluricelular unisseriado, com coroa de células basais, tipo 4, em vista lateral. **H** – detalhe de um tricoma tector pluricelular unisseriado, de aspecto uncinado, tipo 2, em vista lateral. **I** – detalhe de um tricoma tector pluricelular unisseriado, tipo 3, em vista lateral. **J** – detalhe de um tricoma tector dentiforme, unicelular, tipo 1, em vista lateral. **L** – detalhe de um tricoma glandular de cabeça unicelular, tipo 5, em vista lateral. **M** – detalhe de um tricoma glandular de cabeça bicelular, tipo 5, em vista lateral. **N** – detalhe de um tricoma glandular, com cabeça secretora octocelular, tipo 6, em vista lateral.

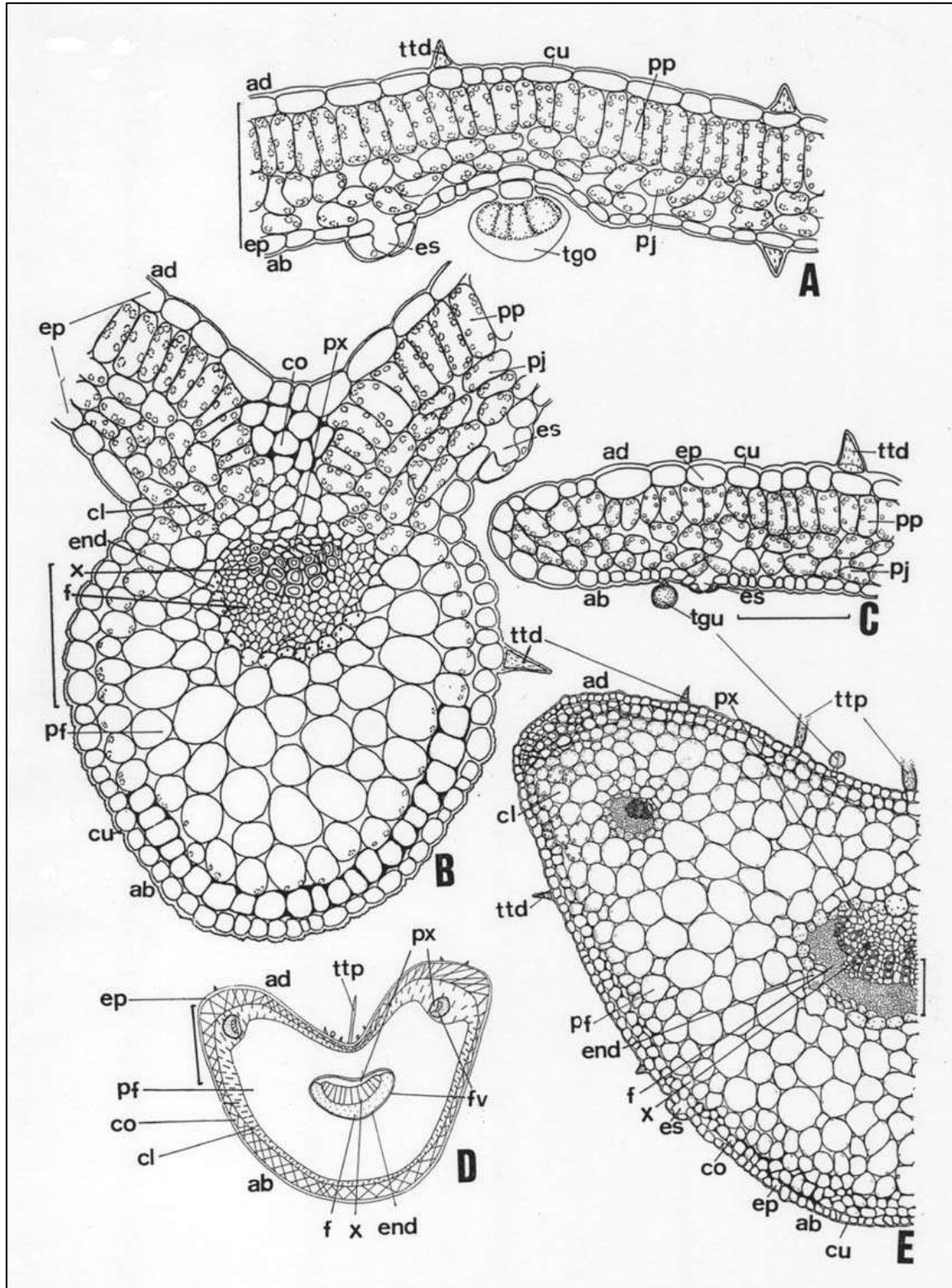


Figura 3 – Aspectos microscópicos em *Melissa officinalis* L.

As escalas correspondem em **A**, **B**, **C** e **E** a 100 µm; em **D** a 400 µm. **A** – detalhe de uma porção da região do mesofilo, em secção transversal: face abaxial (ab); face adaxial (ad); cutícula (cu); epiderme (ep); estômato (es); parênquima esponjoso (pj); parênquima paliçádico (pp); tricoma tector do tipo dentiforme, tipo 1 (ttt); tricoma glandular com cabeça octocelular, tipo 6 (tgo). **B** – detalhe da região da nervura principal e de porção do mesofilo, em secção transversal: face abaxial (ab); face adaxial (ad); clorênquima (cl); colênquima (co); cutícula (cu); endoderme (end); epiderme (ep); estômato (es); floema (f); parênquima esponjoso (pj); parênquima (p); parênquima paliçádico (pp); parênquima do xilema (px); tricoma tector do tipo dentiforme, tipo 1 (ttt); xilema (x). **C** – detalhe de uma porção do bordo foliar, em secção transversal: face abaxial (ab); face adaxial (ad); cutícula (cu); epiderme (ep); estômato (es); parênquima esponjoso (pj); parênquima paliçádico (pp); tricoma glandular com cabeça unicelular, tipo 5 (tgu); tricoma tector do tipo dentiforme, tipo 1 (ttt). **D** – representação esquemática do aspecto geral do pecíolo, em secção transversal: face abaxial (ab); face adaxial (ad); clorênquima (cl); colênquima (co); endoderme (end); epiderme (ep); floema (f); feixe vascular (fv); parênquima fundamental (pf); parênquima do xilema (px); tricoma tector pluricelular unisseriado, tipo 3 (ttp); xilema (x). **E** – detalhe de porção do pecíolo, em secção transversal: face abaxial (ab); face adaxial(ad); clorênquima (cl); colênquima (co); cutícula (cu); endoderme (end); epiderme (ep); estômato (es); floema (f); parênquima fundamental (pf); parênquima do xilema (px); tricoma glandular com cabeça bicelular, tipo 5 (tgu); tricoma tector do tipo dentiforme, tipo 1 (ttt); tricoma tector pluricelular unisseriado, tipo 3 (ttp), xilema (x).